

Universidade Federal de Campina Grande

Programa de Pós-Graduação em Engenharia Elétrica

Estimação e Identificação de Sistemas - 21.2

**Professores: Antonio Marcus Nogueira Lima, Dr.**

**Saulo Oliveira Dornellas Luiz, Dr.**

**Aluno: Arthur Dimitri Brito Oliveira**

## **Relatório de Atividade 6**

### **Introdução**

O objetivo deste relatório é discutir métodos que buscam determinar as funções de transferência diretamente, sem selecionar um conjunto de modelos possíveis. Estes métodos serão apresentados a seguir e baseiam-se na hipótese que é possível injetar um impulso, ou degrau, na entrada do sistema e registrar o sinal de saída por meio de um osciloscópio. A partir da forma de onda obtida, será possível obter diretamente a função de transferência da planta.

### **Análise da resposta transiente e análise da correlação**

#### **Análise da resposta ao impulso**

Sendo um sistema descrito por:

$$y(t) = G_0(t)u(t) + v(t)$$

O sinal de teste pode ser descrito como um impulso:

$$u(t) = \begin{cases} \alpha, & t = 0 \\ 0, & t \neq 0 \end{cases}$$

A saída é expressa por:

$$y(t) = \alpha g_0(t) + v(t)$$

Caso o ruído seja insignificante, é possível determinar os coeficientes da resposta ao impulso no tempo por meio de uma estimativa:

$$\hat{g}(t) = \frac{y(t)}{\alpha}$$

A principal desvantagem desse método é que a maior parte dos processos físicos não permite a aplicação de impulsos com amplitude tal que o erro  $v(t)/\alpha$  torna-se insignificante comparado aos coeficientes de  $\hat{g}(t)$ . Esse tipo de entrada pode causar efeitos não-lineares que perturbariam o comportamento linear do modelo.

## Análise da resposta ao degrau

De forma análoga, ao aplicar um sinal de entrada na forma:

$$u(t) = \begin{cases} \alpha, & t \geq 0 \\ 0, & t < 0 \end{cases}$$

Obtem-se:

$$y(t) = \alpha \sum_{k=1}^t g_0(k) + v(t)$$

De modo que as estimativas de  $g_0(k)$  podem ser obtidas por:

$$\hat{g}(t) = \frac{y(t) - y(t-1)}{\alpha}$$

Baseado nos gráficos obtidos por meio da resposta ao degrau, é possível obter algumas informações básicas de controle do sistema, como atraso, ganho estático, etc.

## Análise de correlação

Dada a descrição do modelo dada por:

$$y(t) = \sum_{k=1}^{\infty} g_0(k)u(t-k) + v(t)$$

Sendo a entrada um sinal quasi-estacionário com:

$$\bar{E}u(t)u(t-\tau) = R_u(\tau)$$

De modo a descorrelacionar a entrada com o ruído na operação em malha aberta:

$$\bar{E}u(t)v(t-\tau) = 0$$

A correlação cruzada entre o sinal de entrada e o sinal de saída pode ser expressa por:

$$\bar{E}y(t)u(t-\tau) = R_{yu}(\tau) = \sum_{k=1}^{\infty} g_0(k)R_u(k-\tau)$$

Caso a entrada escolhida seja um ruído branco, tem-se que:

$$R_u(\tau) = \alpha \delta_{\tau 0}$$

Assim, a resposta ao impulso é:

$$g_0(\tau) = \frac{R_{yu}(\tau)}{\alpha}$$

Desse modo, uma estimativa da resposta ao impulso é obtida ao variar  $\tau$ , encontrando diversas amostras de  $g_0(\tau)$ :

$$\hat{R}_{yu}^N(\tau) = \frac{1}{N} \sum_{t=\tau}^N y(t)u(t-\tau)$$

Caso o sinal de entrada não possua correlação impulsiva, não sendo assim um ruído branco, devemos estimar:

$$\hat{R}_u^N(\tau) = \frac{1}{N} \sum_{t=\tau}^N u(t)u(t-\tau)$$

E resolver a correlação cruzada que também não é mais impulsiva:

$$\hat{R}_{yu}^N(\tau) = \sum_{k=1}^M \hat{g}(k) \hat{R}_u^N(k-\tau)$$

## Técnicas de resposta em frequência

### Teste com sinal senoidal

Tendo uma entrada cossenoidal do tipo:

$$u(t) = \alpha \cos(\omega t), \quad t = 0, 1, 2, \dots$$

A saída será dada por:

$$y(t) = \alpha |G_0(e^{j\omega})| \cos(\omega t + \varphi) + v(t)$$

$$\varphi = \arg G_0(e^{j\omega})$$

Essa propriedade dá algumas pistas para o cálculo de  $G_0(e^{j\omega})$ . Sabendo os dados do sinal de entrada, determina-se a amplitude e o deslocamento de fase do sinal cossenoidal de saída. Calcule uma estimativa  $\hat{G}_N(e^{j\omega})$  com essas informações. Isso deve ser repetido para uma gama de frequências dentro da banda de interesse.

### Análise de frequência pelo método de correlação

Agora utiliza-se uma modulação da seguinte forma:

$$I_C(N) = \frac{1}{N} \sum_{t=1}^N y(t) \cos \omega t$$

$$I_s(N) = \frac{1}{N} \sum_{t=1}^N y(t) \sin \omega t$$

Substituindo a equação do sinal de saída nas expressões anteriores:

$$I_c(N) = \frac{1}{N} \sum_{t=1}^N \alpha |G_0(e^{j\omega})| \cos(\omega t + \varphi) \cos(\omega t) + \frac{1}{N} \sum_{t=1}^N v(t) \cos(\omega t)$$

$$I_c(N) = \frac{\alpha}{2} |G_0(e^{j\omega})| \cos \varphi + \alpha |G_0(e^{j\omega})| \frac{1}{2} \frac{1}{N} \sum_{t=1}^N \cos(2\omega t + \varphi) + \frac{1}{N} \sum_{t=1}^N v(t) \cos(\omega t)$$

$$I_s(N) = -\frac{\alpha}{2} |G_0(e^{j\omega})| \sin \varphi + \alpha |G_0(e^{j\omega})| \frac{1}{2} \frac{1}{N} \sum_{t=1}^N \sin(2\omega t + \varphi) + \frac{1}{N} \sum_{t=1}^N v(t) \sin(\omega t)$$

O segundo termo de ambas as equações tende a zero à medida em que  $N$  tende ao infinito, bem como o terceiro termo, que tem um decaimento na sua variância se  $\sum_0^\infty \tau |R_v(\tau)| < \infty$ . Então, a partir de  $I_c(N)$  e  $I_s(N)$ , tem-se as amplitudes e fases da resposta em frequência:

$$|\hat{G}_N(e^{j\omega})| = \frac{\sqrt{I_c^2(N) + I_s^2(N)}}{\alpha^2/2}$$

$$\hat{\varphi}_N = \arg \hat{G}_N(e^{j\omega}) = -\arctan \frac{I_s(N)}{I_c(N)}$$

Este teste provê o valor na frequência  $\omega$  do sinal de excitação.

### A relação com a análise de Fourier

A partir da representação do sinal de saída por meio da DFT:

$$Y_N(\omega) = \frac{1}{\sqrt{N}} \sum_{t=1}^N y(t) e^{-j\omega t}$$

Por meio da relação de Euler  $e^{-j\omega} = \cos(\omega) - j \sin(\omega)$ , tem-se que os sinais  $I_c(N)$  e  $I_s(N)$  podem ser escritos como:

$$I_c(N) - jI_s(N) = \frac{1}{\sqrt{N}} Y_N(\omega)$$

$$U_N(\omega) = \frac{\sqrt{N} \alpha}{2}$$

Reescrevendo a equação do módulo da função de transferência, tem-se:

$$\hat{G}_N(e^{j\omega}) = \frac{\sqrt{N} Y_N(\omega)}{N\alpha/2} = \frac{Y_N(\omega)}{U_N(\omega)} \quad (1)$$

### Análise de Fourier

## Estimação empírica da função de transferência

A expressão anterior corresponde à análise de frequência com uma única senoide de frequência  $\omega$  injetada como entrada. Esse tipo de aproximação é errático quando houver termos de ruído, o que implica em DFTs ruidosas. Diante disso, define-se  $\hat{\hat{G}}_N(e^{j\omega})$  como uma estimativa grosseira da função de transferência. Apesar da facilidade do cálculo da expressão associada, a interpretação da curva pode ser problemática devido ao ruído.

## Propriedades da EEFT

Assumindo que o sistema tem forma  $y(t) = G_0(q)u(t) + v(t)$ , introduz-se:

$$V_N(\omega) = \frac{1}{\sqrt{N}} \sum_{t=1}^N v(t) e^{-j\omega t}$$

A expressão a seguir revela o  $G_0$  que deseja-se encontrar, mas existem o resíduo pelo truncamento  $R_N$  e termo de ruído  $V_N$ :

$$\hat{\hat{G}}_N(e^{j\omega}) = G_0(e^{j\omega}) + \frac{R_N(\omega)}{U_N(\omega)} + \frac{V_N(\omega)}{U_N(\omega)}$$

Assumindo que  $v(t)$  tem média nula,  $E(V_N(\omega)) = 0$ , ao tomar a esperança da expressão anterior, tem-se:

$$E\hat{\hat{G}}_N(e^{j\omega}) = G_0(e^{j\omega}) + \frac{R_N(\omega)}{U_N(\omega)}$$

O valor médio será função da excitação imposta ao sistema. A princípio, seria possível manipular o sinal de entrada de modo a zerar a parcela  $\frac{R_N(\omega)}{U_N(\omega)}$ .

Analisando como a variância do ruído afeta a estimativa, tem-se que:

$$E V_N(\omega) V_N(-\xi) = \begin{cases} \Phi_v(\omega) + \rho_2(N), & \text{se } \xi = \omega \\ \rho_2(N), & \text{se } |\xi - \omega| = \frac{k2\pi}{N} \end{cases}$$

Com  $|\rho_2(N)| \leq 2C/N$ . Assim, o modelo a ser estimado tem um  $G_0(q)$ , e deseja-se analisar as propriedades da estimativa utilizando a EEFT. Quanto à média e à variância, pode-se controlar as polarizações  $|\rho_1(N)| \leq \frac{C_1}{\sqrt{N}}$

e  $|\rho_2(N)| \leq \frac{C_2}{N}$ . O erro em torno da função de transferência  $G_0$  pode ser manipulado, mediante o projeto de sinais específicos, de modo que os erros da média e da variância sejam mínimos. As constantes podem ser calculadas por:

$$C_1 = \left( 2 \sum_{k=1}^{\infty} |kg_0(k)| \right) \cdot \max |u(t)|$$

$$C_2 = C_1^2 + \sum_{k=-\infty}^{\infty} |\tau R_v(\tau)|$$

Antecipando as conclusões a partir das demonstrações, ao utilizar a DFT para EEFT, no caso de sinais de entrada periódicos, a estimativa tende a melhoras nas frequências que estão presentes na entrada. No entanto, quando o sinal não é periódico, a variância não decai com N, mas mantém-se igual à relação sinal-ruído nas frequências correspondentes. Em qualquer um dos casos, se houver a contaminação com ruído dos sinais, as estimativas tendem a ser grosseiras para a maioria dos casos.

## Análise Espectral

### Suavizando a EEFT

Suponha que existe uma função suave  $G_0(e^{j\omega})$ , e que a distância  $\frac{2\pi}{N}$  é pequena quando comparada à mudança de  $G_0(e^{j\omega})$ , ou seja, há muitas raias espectrais. O valor ao redor dele pode ser considerado constante  $2\pi k/N \approx \omega$ . Assim os valores de  $\hat{\hat{G}}_N(e^{2\pi ik/N})$  são estimativas descorrelacionados da mesma frequência  $G_0$ . Considera-se então que, em torno da frequência  $\omega$ , existem dois indicadores  $k_1$  e  $k_2$  que cercam a frequência central  $\omega$ . O objetivo é correlacionar as estimativas para melhorar a estimativa de  $\omega$ . A estimativa normalizada é ponderada em termos da estimativa grosseira. Há maior peso atribuído, na ponderação, às frequências que têm melhor relação sinal-ruído.  $\hat{\hat{G}}_N$ . Portanto, explora-se a correlação que melhora a estimativa inicial para a frequência central:

$$\alpha_k = \frac{|U_N(2\pi k/N)|^2}{\Phi_v(2\pi k/N)}$$

$$\hat{\hat{G}}_N(e^{j\omega}) = \frac{\sum_{k=k_1}^{k_2} \alpha_k \hat{\hat{G}}_N(e^{2\pi ik/N})}{\sum_{k=k_1}^{k_2} \alpha_k} \quad (2)$$

A ideia agora é tornar o N grande de tal forma que essa ponderação se torna refinada com passo infinitesimal. Assim,  $k_1$  e  $k_2$  tornam-se  $\omega_0 - \Delta_\omega$  e  $\omega_0 + \Delta_\omega$  e tem-se a aproximação de  $\hat{\hat{G}}_N$  como sendo:

$$\hat{G}_N(e^{j\omega}) = \frac{\int_{\omega_0 - \Delta\omega}^{\omega_0 + \Delta\omega} \alpha(\xi) \hat{G}_N(e^{j\xi}) d\xi}{\int_{\omega_0 - \Delta\omega}^{\omega_0 + \Delta\omega} \alpha(\xi) d\xi}$$

$$\alpha(\xi) = \frac{|U_N(\xi)|}{\Phi_v(\xi)}$$

Para mitigar os efeitos de borda ao trabalhar com uma quantidade finita de dados, utiliza-se uma janela de ponderação para melhorar a estimativa, utiliza-se a função (janela) de ponderação  $W_\gamma$  como sendo um degrau:

$$\hat{G}_N(e^{j\omega}) = \frac{\int_{-\pi}^{\pi} W_\gamma(\xi - \omega_0) \alpha(\xi) \hat{G}_N(e^{j\xi}) d\xi}{\int_{-\pi}^{\pi} W_\gamma(\xi - \omega_0) \alpha(\xi) d\xi}$$

No caso, pode-se utilizar funções de ponderação mais complexas. Ao fazer aparecer explicitamente o espectro do sinal de entrada, tem-se:

$$\hat{G}_N(e^{j\omega}) = \frac{\int_{-\pi}^{\pi} W_\gamma(\xi - \omega_0) |U_N(\xi)|^2 \hat{G}_N(e^{j\xi}) d\xi}{\int_{-\pi}^{\pi} W_\gamma(\xi - \omega_0) |U_N(\xi)|^2 d\xi} \quad (3)$$

Então, é possível utilizar diversos tipos de janelas de ponderação de modo que a função de transferência seja suavizada, e este é o mesmo princípio utilizado no capítulo 2 ao suavizar o periodograma utilizando  $\psi(\omega)$  e o converge para o espectro.

## Desenvolvimento

Dado um sistema da forma:

$$y(t) - 1.5y(t-1) + 0.7y(t-2) = u(t-1) + 0.5u(t-2) + e(t)$$

Onde  $e(t)$  é um ruído branco de variância unitária e  $u(t)$  é um sinal PRBS. Utilizando o operador de deslocamento no tempo, a função de transferência real do sistema pode ser escrita conforme a [Eq. 4](#)

$$y(k) - 1.5y(k)q + 0.7y(k)q^2 = u(k)q + 0.5u(k)q^2$$

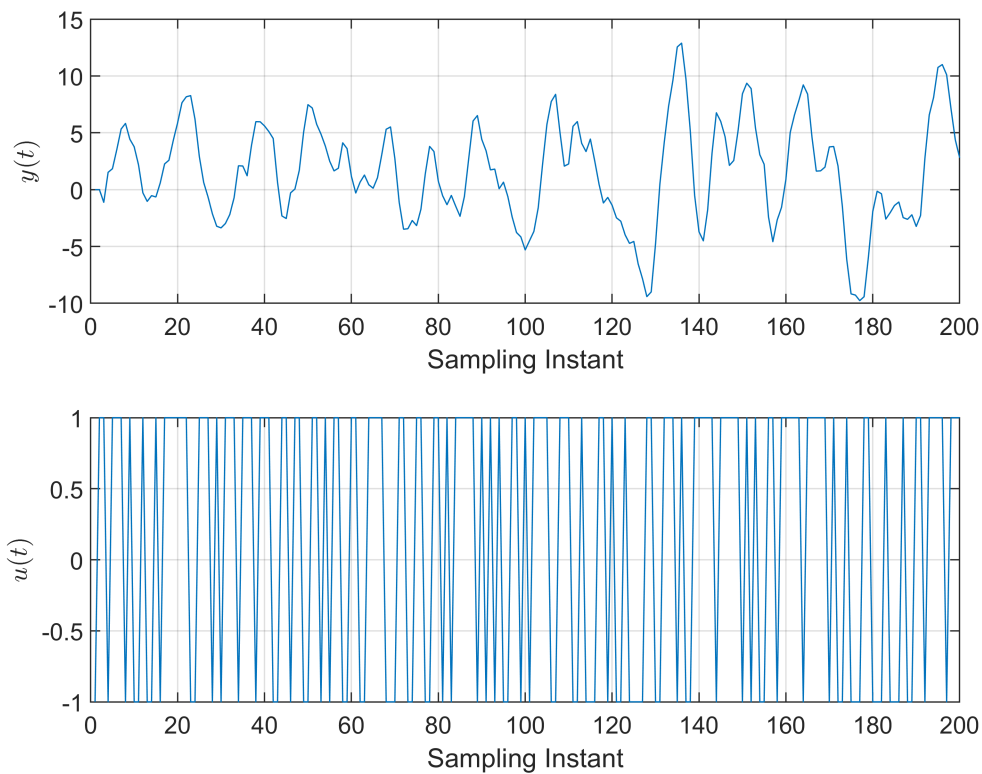
$$H(z) = \frac{z + 0.5z}{0.7z^2 - 1.5z + 1} \quad (4)$$

Os sinais  $y(t)$  e  $u(t)$  podem ser visualizados na [Fig.1](#).

```

[y,u] = simulateSystem(1000);
figure()
subplot(2,1,1)
plot(y(1:200))
ylabel('$y(t)$', "Interpreter","latex")
xlabel('Sampling Instant')
grid()
subplot(2,1,2)
plot(u(1:200))
ylabel('$u(t)$', "Interpreter","latex")
xlabel('Sampling Instant')
grid()

```



**Fig.1:** Sinal de saída  $y(t)$  e sinal de entrada  $u(t)$ .

Conforme a [Eq.1](#), a função de transferência empírica pode ser obtida. O resultado é uma estimativa grosseira da função de transferência do sistema:

$$\hat{\hat{G}}_N(e^{j\omega}) = \frac{Y_N(\omega)}{U_N(\omega)} \quad (5)$$

$$Y_N(\omega) = \frac{1}{\sqrt{N}} \sum_{t=1}^N y(t) e^{-j\omega t}$$



$$U_N(\omega) = \frac{1}{\sqrt{N}} \sum_{t=1}^N u(t) e^{-j\omega t}$$

De modo a suavizar a estimativa, algumas janelas podem ser utilizadas:

	$2\pi W_\gamma(\omega)$
Bartlett	$\frac{1}{\gamma} \left( \frac{\sin \gamma \omega/2}{\sin \omega/2} \right)^2$
Parzen	$\frac{4(2 + \cos \omega)}{\gamma^3} \left( \frac{\sin \gamma \omega/4}{\sin \omega/2} \right)^4$
Hamming	$\frac{1}{2} D_\gamma(\omega) + \frac{1}{4} D_\gamma(\omega - \pi/\gamma) + \frac{1}{4} D_\gamma(\omega + \pi/\gamma)$ , where $D_\gamma(\omega) = \frac{\sin(\gamma + \frac{1}{2})\omega}{\sin \omega/2}$

**Figura 2:** Janelas utilizadas para análise espectral.

A função de transferência suavizada é, por sua vez:

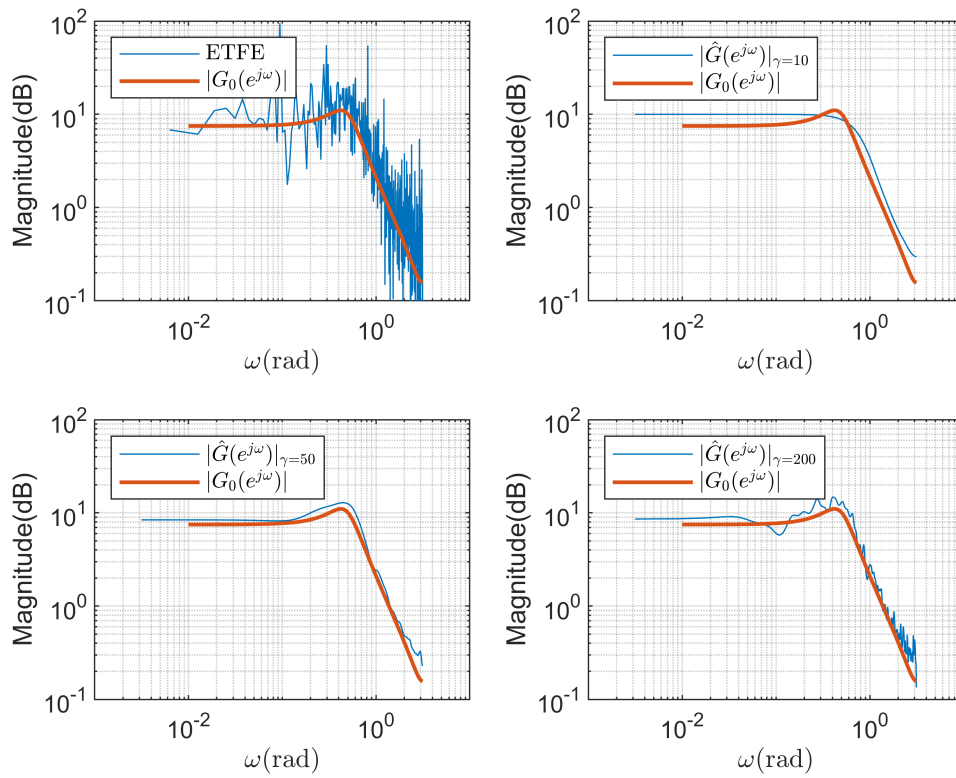
$$\hat{G}_N(e^{j\omega}) = \frac{\int_{-\pi}^{\pi} W_\gamma(\xi - \omega_0) |U_N(\xi)|^2 \hat{\hat{G}}_N(e^{j\xi}) d\xi}{\int_{-\pi}^{\pi} W_\gamma(\xi - \omega_0) |U_N(\xi)|^2 d\xi} \quad (6)$$

Também é possível utilizar o espectro do sinal de entrada obtido a partir da correlação do sinal de entrada. À medida que  $N \rightarrow \infty$ ,  $|U_N(\xi)|^2 \rightarrow \Phi_u(\xi)$ . Dessa forma o numerador e o denominador da Eq. 6 podem ser reescritos como:

$$\hat{G}_N(e^{j\omega}) = \frac{\int_{-\pi}^{\pi} W_\gamma(\xi - \omega_0) \Phi_u(\xi) \hat{\hat{G}}_N(e^{j\xi}) d\xi}{\int_{-\pi}^{\pi} W_\gamma(\xi - \omega_0) \Phi_u(\xi) d\xi} = \frac{\hat{\Phi}_{yu}^N(\omega_0)}{\hat{\Phi}_u^N(\omega_0)} \quad (7)$$

As Figuras 2, 3 e 4 ilustram um comparativo entre a função de transferência real do sistema e as suas aproximações. Utilizou-se o procedimento direto obtido pela divisão entre as DFTs do sinal de entrada e o sinal de saída, bem como as suavizações utilizando janelas via DFT do sinal de entrada ou da correlação do sinal de entrada.

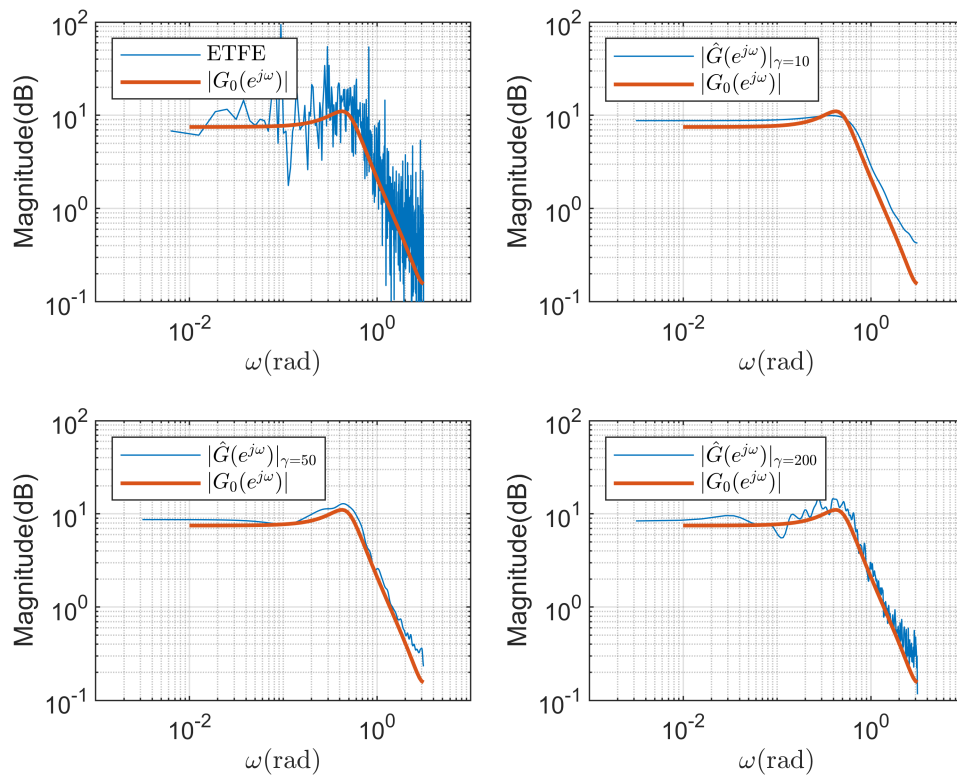
Warning: Negative data ignored  
Warning: Negative data ignored  
Warning: Negative data ignored



**Fig. 2:** Comparativos entre a função de transferência ideal e suas aproximações via ETFE e janelamento de Parzen.

empirical\_TF\_and\_smooth\_by\_bartlett

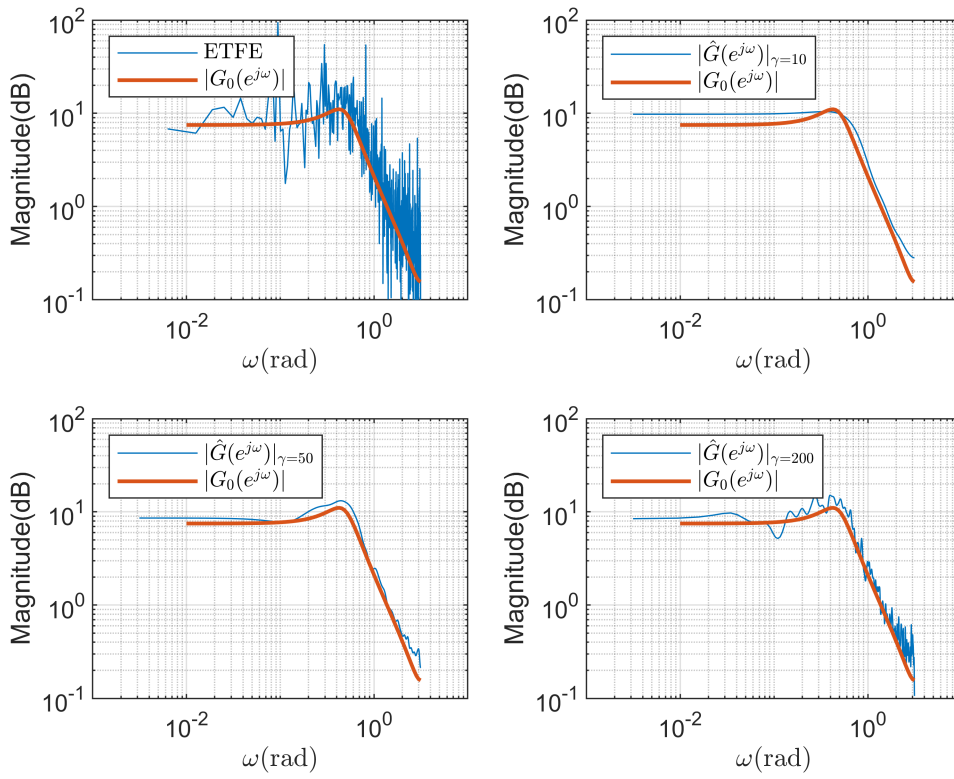
Warning: Negative data ignored  
Warning: Negative data ignored  
Warning: Negative data ignored



**Fig. 3:** Comparativos entre a função de transferência ideal e suas aproximações via ETFE e janelamento de Bartlett.

```
empirical_TF_and_smooth_by_hamming
```

Warning: Negative data ignored  
Warning: Negative data ignored  
Warning: Negative data ignored



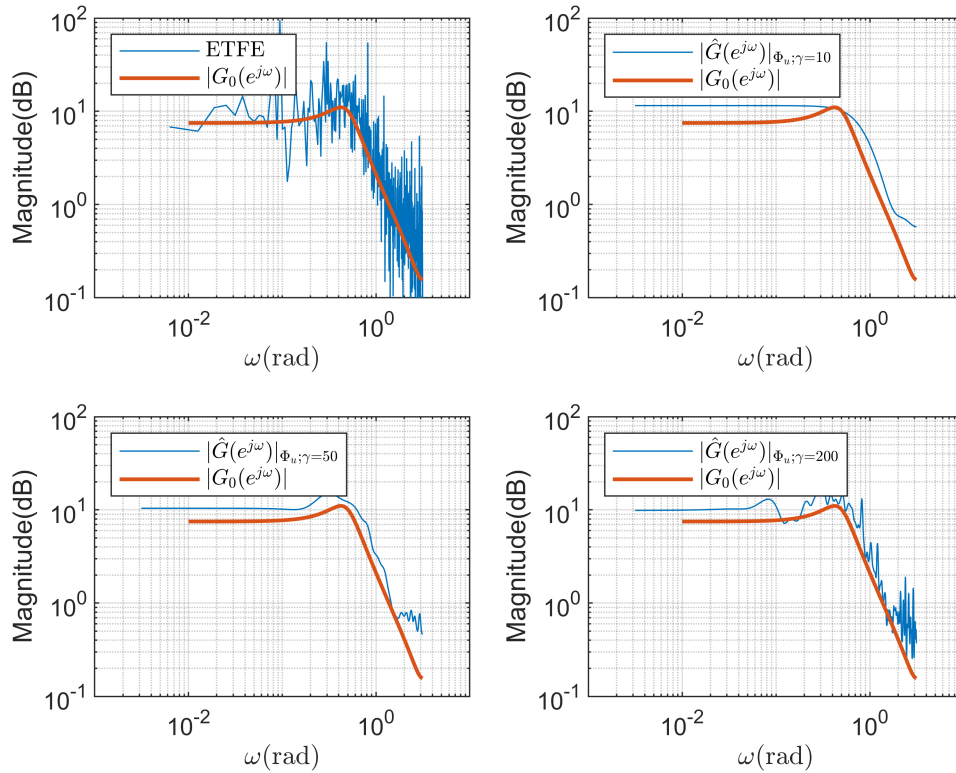
**Fig. 4:** Comparativos entre a função de transferência ideal e suas aproximações via ETFE e janelamento de Hamming.

Como esperado, a razão entre as DFTs da entrada e da saída resulta em uma aproximação grosseira. Mediante a utilização da Eq. 6, é possível suavizar a curva obtida a partir da ETFE utilizando as janelas de Parzen, Bartlett e Hamming. Para todas estas, nota-se que à medida em que incrementa-se o valor de  $\gamma$ , há oscilações na magnitude da função de transferência suavizada. Isso é esperado, já que, na ponderação da estimativa grosseira, explora-se frequências com melhor relação sinal ruído. Quando a janela torna-se mais larga, pondera-se frequências que estão cada vez mais distantes da frequência central  $\omega$ , contribuindo para um viés elevado e oscilações mais severas na suavização de  $\hat{\hat{G}}(e^{j\omega})$ . No caso do sistema em questão, a janela ótima em termos de viés e variância é  $\gamma = 50$ .

Outra abordagem possível é utilizar o espectro do sinal de entrada obtido a partir da correlação do sinal de entrada, valendo-se da relação  $N \rightarrow \infty$ ,  $|U_N(\xi)|^2 \rightarrow \Phi_u(\xi)$ , conforme a Eq. 7. Os comparativos ilustrados nas Figuras 5, 6 e 7 para cada uma das janelas, variando  $\gamma = [10, 50, 200]$ , evidenciam que a aproximação previamente mencionada, onde o módulo da DFT do sinal  $u(t)$  converge para o espectro  $\Phi_u$  à medida em que o número de amostras tende a infinito, não foi constatada. Tais aproximações podem ser melhoradas ao incrementar-se o número de amostras  $N$  utilizadas para geração dos sinais  $y(t)$  e  $u(t)$ .

## empirical\_TF\_and\_smooth\_blackman\_turkey\_parzen

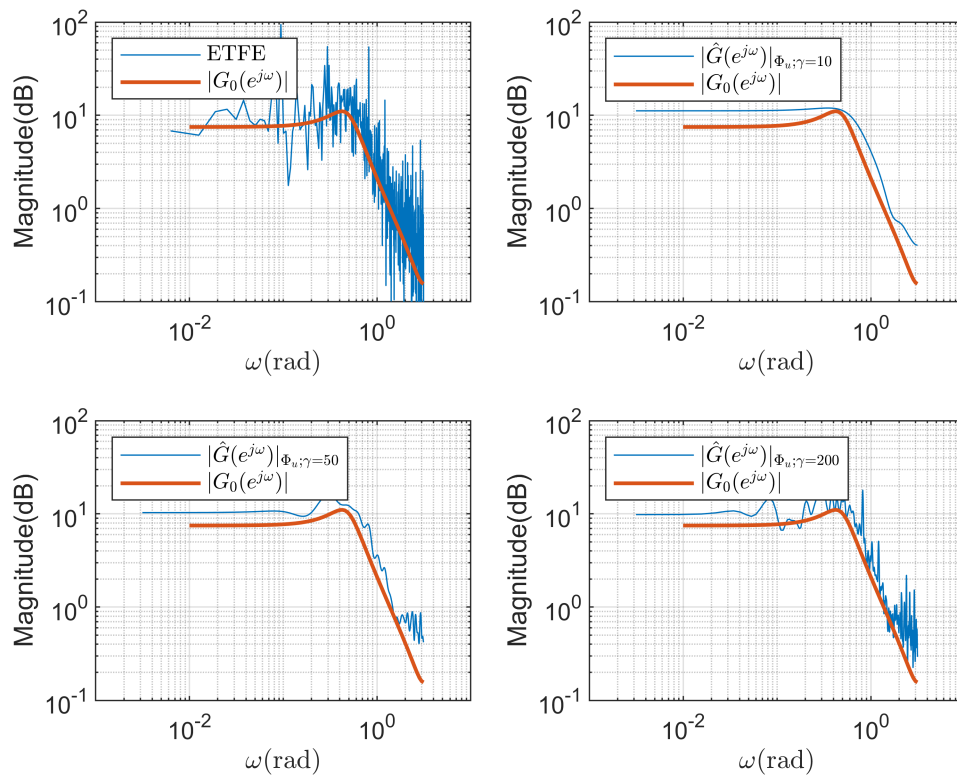
Warning: Imaginary parts of complex X and/or Y arguments ignored.  
Warning: Negative data ignored  
Warning: Imaginary parts of complex X and/or Y arguments ignored.  
Warning: Negative data ignored  
Warning: Imaginary parts of complex X and/or Y arguments ignored.  
Warning: Negative data ignored



**Fig. 5:** Comparativos entre a função de transferência ideal e suas aproximações via ETFE e janelamento Parzen via correlação.

## empirical\_TF\_and\_smooth\_blackman\_turkey\_bartlett

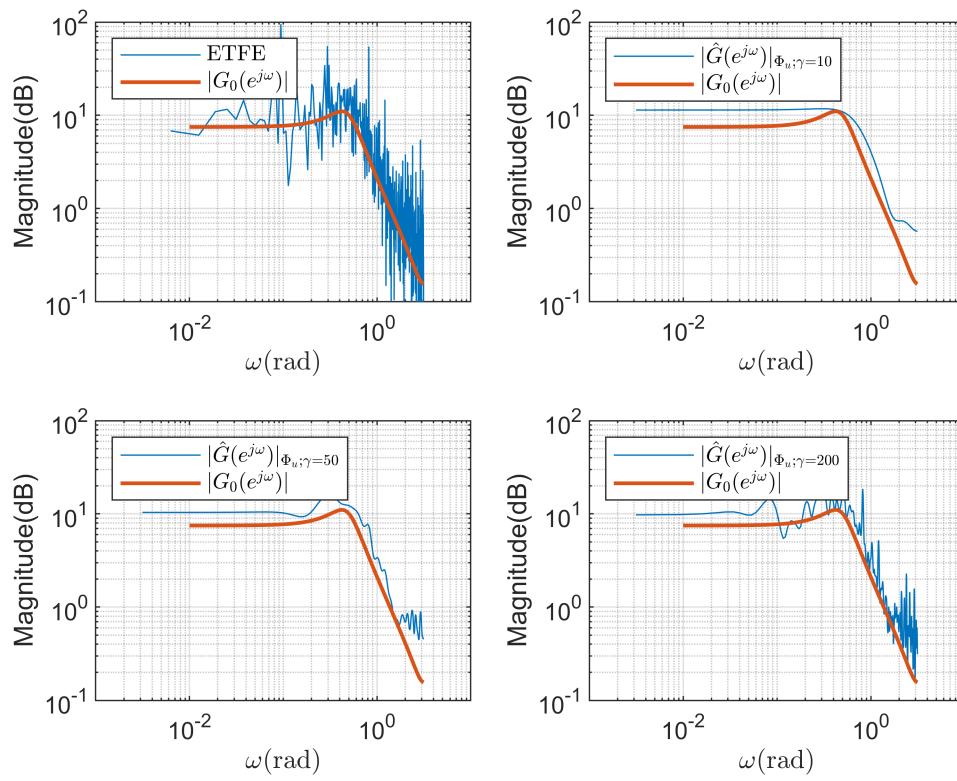
Warning: Imaginary parts of complex X and/or Y arguments ignored.  
Warning: Negative data ignored  
Warning: Imaginary parts of complex X and/or Y arguments ignored.  
Warning: Negative data ignored  
Warning: Imaginary parts of complex X and/or Y arguments ignored.  
Warning: Negative data ignored



**Fig. 6:** Comparativos entre a função de transferência ideal e suas aproximações via ETFE e janelamento Bartlett via correlação.

empirical\_TF\_and\_smooth\_blackman\_turkey\_hamming

Warning: Imaginary parts of complex X and/or Y arguments ignored.  
Warning: Negative data ignored  
Warning: Imaginary parts of complex X and/or Y arguments ignored.  
Warning: Negative data ignored  
Warning: Imaginary parts of complex X and/or Y arguments ignored.  
Warning: Negative data ignored



**Fig. 7:** Comparativos entre a função de transferência ideal e suas aproximações via ETFE e janelamento Hamming via correlação.

## Referências

- [1] L. LJUNG. **System Identification: Theory for the User** Courier Corporation, 2008. ISBN 0486462781.